Πίνακας κορυφών ορίου Έκτασης 1		
Κορυφή	X	Y
K155	623846.386	3873543.407
K157	623849.269	3873543.145
K158	623855.719	3873544.064
K159	623867.085	3873546.192
K160	623883.253	3873549.874
K161	623884.102	3873531.776
K162	623889.209	3873513.713
K163	623894.702	3873493.630
K164	623891.075	3873489.304
K165	623882.707	3873480.462
K166	623874.234	3873473.252
K167	623867.349	3873469.760
K168	623866.935	3873469.670
K169	623863.500	3873468.924
K170	623859.274	3873468.798
K171	623851.490	3873468.798
K172	623831.720	3873470.378
K173	623819.013	3873473.187
K156	623814.254	3873474.061
K144	623808.856	3873475.020
K145	623804.229	3873476.691
K146	623800.728	3873479.114
K147	623793.796	3873484.941
K148	623784.274	3873492.159
K149	623776.210	3873500.120
K133	623761.719	3873517.310
K134	623743.669	3873540.370
K135	623740.824	3873543.239
K136	623738.232	3873545.034
K137	623735.469	3873546.530
K138	623733.530	3873546.968
K139	623731.748	3873546.719
K140	623728.109	3873545.025
K141	623728.152	3873546.529
K142	623726.156	3873614.181
K143	623807.376	3873602.535
K131	623813.662	3873589.017
K132	623818.763	3873579.241
K150	623821.460	3873575.273
K151	623828.856	3873564.394
K152	623834.546	3873553.151
K153	623838.668	3873547.577
K154	623842.414	3873545.065

Πίνακας κορυφών ορίου Έκτασης 2		
Κορυφή	X	Y
K93	623848.326	3873715.292
K94	623841.185	3873731.369
K95	623893.550	3873729.730
K96	623912.750	3873728.970
K97	623948.020	3873733.190
K98	623993.590	3873701.640
K99	624032.852	3873671.865
K100	624051.800	3873660.610
K101	624068.070	3873653.910
K102	624123.150	3873634.010
K103	624159.633	3873611.867
K104	624179.828	3873607.254
K105	624225.855	3873596.226
K106	624204.670	3873578.000
K107	624163.400	3873565.050
K108	624148.680	3873545.570
K109	624171.620	3873515.560
K110	624173.180	3873513.293
K68	624334.838	3873278.422
K69	624328.417	3873271.506
K70	624323.013	3873261.733
K71	624318.466	3873248.425
K72	624313.528	3873235.541
K73	624306.488	3873226.421
K74	624297.437	3873219.057
K75	624276.457	3873205.137
K76	624248.963	3873187.141
K77	624226.189	3873171.062
K78	624212.094	3873162.235
K79	624186.368	3873199.372
K80	624134.609	3873238.356
K81	624103.729	3873266.575
K82	624080.970	3873298.750
K83	624075.050	3873311.220
K84	624059.760	3873372.780
K85	624051.908	3873396.189
K86	623990.637	3873508.045
K87	623957.095	3873545.661
K88	623921.165	3873605.372
K89	623893.242	3873646.751
K90	623876.714	3873675.564
K115	623880.857	3873600.800
K116	623870.968	3873596.737
K117	623825.643	3873578.116
K118	623819.350	3873587.606
K119	623816.485	3873593.223
K120	623812.742	3873600.850
K121	623810.440	3873604.478
K122	623798.503	3873623.291
K123	623793.185	3873634.092
K124	623791.478	3873637.209
K125	623789.459	3873640.204
K126	623784.278	3873645.587
K127	623762.727	3873680.334
K128	623816.763	3873656.771
K129	623825.791	3873632.929
K130	623840.108	3873657.329

Πίνακας κορυφών ορίου Έκτασης 4		
Κορυφή	X	Y
K40	624408.700	3873268.330
K60	624429.450	3873269.337
K61	624438.994	3873270.189
K62	624455.417	3873272.956
K63	624455.420	3873272.939
K174	624480.140	3873280.019
K175	624499.059	3873285.328
K180	624527.681	3873288.974
K181	624550.878	3873291.231
K182	624563.597	3873210.064
K187	624560.553	3873209.691
K186	624523.498	3873195.668
K176	624513.359	3873194.053
K179	624488.678	3873190.122
K64	624469.826	3873187.433
K67	624457.447	3873185.668
K41	624423.195	3873176.842
K59	624397.859	3873170.314
K48	624393.256	3873171.712
K49	624393.490	3873176.270
K50	624387.580	3873185.390
K51	624386.850	3873186.520
K52	624377.790	3873190.680
K53	624377.750	3873214.080
K54	624376.090	3873216.180
K55	624370.020	3873223.850
K56	624360.070	3873232.970
K57	624360.450	3873263.780
K58	624348.970	3873261.920
K11	624340.779	3873267.720
K10	624340.587	3873268.546
K37	624341.984	3873270.391
K38	624347.898	3873274.212
K39	624355.826	3873275.216

Πίνακας κορυφών ορίου Έκτασης 3		
Κορυφή	X	Y
K1	624220.415	3873155.081
K2	624233.557	3873164.229
K3	624251.024	3873176.731
K4	624264.547	3873186.326
K5	624300.088	3873209.222
K6	624312.723	3873219.070
K7	624321.831	3873231.228
K8	624330.634	3873251.618
K9	624335.644	3873262.249
K10	624340.587	3873268.546
K11	624340.779	3873267.720
K12	624348.249	3873233.010
K13	624359.419	3873215.230
K14	624373.910	3873186.400
K15	624386.619	3873176.730
K16	624386.499	3873175.820
K17	624386.809	3873175.580
K18	624386.552	3873173.749
K36	624369.940	3873178.795
K35	624366.652	3873157.926
K34	624341.480	3873144.204
K33	624336.006	3873152.694
K32	624310.902	3873138.793
K31	624309.207	3873125.037
K27	624299.638	3873104.604
K28	624232.260	3873144.751
K29	624230.370	3873145.871
K30	624227.510	3873148.500

Πίνακας κορυφών Γραμμής Παραλίας		
Κορυφή	X	Y
K27	624299.638	3873104.604
K31	624309.207	3873125.037
K32	624310.902	3873138.793
K33	624336.006	3873152.694
K34	624341.480	3873144.204
K35	624366.652	3873157.926
K36	624369.940	3873178.795
K16	624386.499	3873175.820
K18	624386.552	3873173.749
K48	624393.256	3873171.712
K59	624397.859	3873170.314
K41	624423.195	3873176.842
K67	624457.447	3873185.668
K64	624469.826	3873187.433
K179	624488.678	3873190.122
K176	624513.359	3873194.053
K186	624523.498	3873195.668
K187	624560.553	3873209.691
K182	624563.597	3873210.064

Πίνακας κορυφών Γραμμής Αιγιαλού		
Κορυφή	X	Y
K26	624308.271	3873099.459
K25	624318.938	3873122.236
K24	624320.204	3873132.513
K23	624332.669	3873139.415
K22	624338.109	3873130.978
K21	624375.763	3873151.504
K20	624378.029	3873165.886
K19	624385.146	3873163.725
K44	624391.679	3873161.741
K43	624397.637	3873159.931
K42	624424.767	3873166.921
K66	624459.407	3873175.846
K65	624471.488	3873177.569
K178	624490.170	3873180.234
K177	624514.907	3873184.173
K185	624526.081	3873185.953
K184	624562.965	3873199.911
K183	624565.146	3873200.178

ΟΜΑΔΟΠΟΙΗΣΗ ΤΩΝ ΣΧΗΜΑΤΙΣΜΩΝ – ΔΙΑΚΡΙΣΗ ΤΕΧΝΙΚΟΓΕΩΛΟΓΙΚΩΝ ΕΝΟΤΗΤΩΝ

ΓΕΩΔΗ – ΑΝΘΡΩΠΟΓΕΝΕΙΣ ΑΠΟΘΕΣΕΙΣ

Μηχανικές ιδιότητες: Οι επιχώσεις που εδράζεται η επαρχιακή οδό είναι λεπτόκοκκες και καλά συμπιεσμένες, χωρίς αναμενόμενα προβλήματα στα μηχανικά τους χαρακτηριστικά. Το επίχωμα της Έκτασης 4 αποτελείται από αδρόκοκκα υλικά (χάλικες, ογκόλιθοι) εντός αργιλικής μάζας και, πιθανώς κατασκευασμένο χωρίς μελέτη, πρέπει να θεωρηθεί ότι έχει υποβαθμισμένα μηχανικά χαρακτηριστικά — παρότι δεν παρατηρούνται ολισθήσεις ή καθιζήσεις. Η παρουσία αργιλικών ορυκτών το κάνει ευαίσθητο στην υγρασία, με αύξηση της υγρασίας να οδηγεί σε μείωση της διατμητικής αντοχής.

Εκσκαψιμότητα: Η εκσκαφή μπορεί να πραγματοποιηθεί εύκολα με μηχανικά μέσα.

Ευστάθεια πρανών: Δεν διαπιστώθηκαν σοβαρά προβλήματα ευστάθειας των πρανών στην περιοχή μελέτης.

Υδροφορία: Ο σχηματισμός αν και θεωρείται ημιπερατός, αποτελεί μια τοπική εμφάνιση και έτσι δεν αναμένεται κάποια να διαθέτει κάποια υδροφορία.

ΗΜΙΒΡΑΧΟΙ - ΦΛΥΣΧΙΚΟΙ ΣΧΗΜΑΤΙΣΜΟΙ

Μηχανικές ιδιότητες: Ο φλύσχης παρουσιάζει μεγάλη ετερογένεια στη μηχανική συμπεριφορά λόγω των εναλλαγών λιθολογίας, με τις ιδιότητες κάθε φάσης να εξαρτώνται από ορυκτολογία, συγκόλληση, στρώση, αποσάθρωση και διάρρηξη. Ο ιλυολιθικός φλύσχης έχει μειωμένα μηχανικά χαρακτηριστικά λόγω της λεπτής στρώσης και της έντονης τεκτονικής καταπόνησης, με περαιτέρω εξασθένηση όπου εμφανίζονται οφιολιθικά πετρώματα με λείες επιφάνειες. Ο ψαμμιτικός φλύσχης, παρότι πιο ανθεκτικός, είναι έντονα διαρρηγμένος (διακλάσεις, κερματισμός) που λειτουργούν ως επιφάνειες αποκόλλησης, εμφανίζοντας κορήματα στη βάση των πρανών. Τα συνεκτικά κορήματα φλύσχη στις Περιοχές 3 και 4 έχουν ανάλογα χαρακτηριστικά με τον ψαμμιτικό φλύσχη, αλλά αναμένονται καλύτερα λόγω μικρότερων κλίσεων και μεγαλύτερης συνεκτικότητας.

Εκσκαψιμότητα: Η εκσκαφή μπορεί να πραγματοποιηθεί εύκολα με μηχανικά μέσα και τοπικά με χρήση υδραυλικής σφύρας.

Ευστάθεια πρανών: Αναμένεται να υπάρχουν προβλήματα ευστάθειας λόγω του τεκτονισμού και της διάβρωσης.

Υδροφορία: Δεν αναμένεται υδροφορία, αφού ο σχηματισμός θεωρείται αδιαπέρατος.

Με βάση βιβλιογραφικά και εργαστηριακά δεδομένα δίδονται ενδεικτικά κάποια εύρη τιμών των φυσικών και μηχανικών χαρακτηριστικών του σχηματισμού αυτού:

α) Ιλυόλιθοι

γb	1,7 – 2,3 gr/cm^3
LL*	25 – 35%
PL*	16 – 21%
cs	6 – 30 Kg/cm^2
φs	200 – 320
qu	65 – 400 Kg/cm^2 - συνήθως 100 – 300 Kg/cm^2

** όταν πρόκειται για αποσαθρωμένο πέτρωμα*

β) Ψαμμίτες, κροκαλοπαγή

γb	1,7 – 2,8 gr/cm^3
cs	10 – 200 Kg/cm^2
φs	250 – 450
qu	100 – 1200 Kg/cm^2

ΒΡΑΧΟΙ – ΑΣΒΕΣΤΟΛΙΘΙΚΟΣ ΟΛΙΣΘΟΛΙΘΟΣΙ

Μηχανικές ιδιότητες: Στην περιοχή μελέτης ο ασβεστολιθικός ολισθόλιθος είναι έντονα τεκτονισμένος με αποτέλεσμα τα μηχανικά χαρακτηριστικά του να είναι σημαντικά υποβαθμισμένα σε σχέση τον υγιή ασβεστόλιθο. Τυχόν επεμβάσεις σε αυτόν, θα πρέπει να αποφεύγονται, ενώ τα μηχανικά του χαρακτηριστικά θα πρέπει να αξιολογηθούν από επιτόπια δείγματα.

Εκσκαψιμότητα: Η εκσκαφή τους μπορεί να χαρακτηριστεί από μέτρια ως δύσκολη με συμβατικά μέσα και είναι απαραίτητη η χρήση υδραυλικής σφύρας.

Ευστάθεια πρανών: Δεν διαπιστώθηκαν σοβαρά προβλήματα ευστάθειας, ενώ παρατηρήθηκαν καταπτώσεις βράχων.

Υδροφορία: Καθώς ο σχηματισμός αυτός αποτελεί μια τοπική εμφάνιση ασβεστόλιθου, δεν αναμένεται κάποια να διαθέτει κάποια υδροφορία.

Με βάση βιβλιογραφικά και εργαστηριακά δεδομένα δίδονται ενδεικτικά κάποια εύρη τιμών των φυσικών και μηχανικών χαρακτηριστικών παρόμοιων σχηματισμών:

$γ_b$	2,6 – 2,8 gr/cm^3
q_u	350 – 1800 Kg/cm^2
c_t	100 – 300 Kg/cm^2
$φ_t$	27° – 45°
E	25.000 – 1.000.000 Kg/cm^2

Όριο κηρυγμένου Αρχαιολογικού Χώρου "Σκουροχάρακο ή Σκούρος" (ΦΕΚ 1804 Β΄/29-09-1999)		
Κορυφή	X	Y
A1	624075.322	3873002.631
A2	624066.721	3873009.043
A3	624030.751	3873136.295
A4	624066.473	3873120.924
A5	624219.225	3873156.769
A6	624260.551	3873195.373
A7	624322.510	3873224.782
A8	624361.532	3873283.848
A9	624362.450	3873228.470
A10	624393.881	3873131.046

ΠΕΠ 3 - Περιοχή Προστασίας Αρχαιολογικών Χώρων ΣΧΟΟΑΠ Δήμου Βιάννου (ΦΕΚ 54 ΑΑΠ / 30-03-2011) Έκταση 2		
Κορυφή	X	Y
A11	624191.571	3873191.861
A12	624208.878	3873202.767
A13	624231.544	3873223.427
A14	624257.820	3873238.470
A15	624289.512	3873253.314
A16	624321.795	3873297.371
K68	624334.838	3873278.422
K69	624328.417	3873271.506
K70	624323.013	3873261.733
K71	624318.466	3873248.425
K72	624313.528	3873235.541
K73	624306.488	3873226.421
K74	624297.437	3873219.057
K75	624276.457	3873205.137
K76	624248.963	3873187.141
K77	624226.189	3873171.062
K78	624212.094	3873162.235

ΠΕΠ 3 - Περιοχή Προστασίας Αρχαιολογικών Χώρων ΣΧΟΟΑΠ Δήμου Βιάννου (ΦΕΚ 54 ΑΑΠ / 30-03-2011) Έκταση 3		
Κορυφή	X	Y
K1	624220.415	3873155.081
K2	624233.557	3873164.229
K3	624251.024	3873176.731
K4	624264.547	3873186.326
K5	624300.088	3873209.222
K6	624312.723	3873219.070
K7	624321.831	3873231.228
K8	624330.634	3873251.618
K9	624335.644	3873262.249
K10	624340.587	3873268.546
K11	624340.779	3873267.720
K12	624348.249	3873233.010
K13	624359.419	3873215.230
K14	624373.910	3873186.400
K15	624386.619	3873176.730
K16	624386.499	3873175.820
K17	624386.809	3873175.580
K18	624386.552	3873173.749
K36	624369.940	3873178.795
K35	624366.652	3873157.926
K34	624341.480	3873144.204
K33	624336.006	3873152.694
K32	624310.902	3873138.793
K31	624309.207	3873125.037
K27	624299.638	3873104.604
K28	624232.260	3873144.751
K29	624230.370	3873145.871
K30	624227.510	3873148.500

ΠΕΠ 3 - Περιοχή Προστασίας Αρχαιολογικών Χώρων ΣΧΟΟΑΠ Δήμου Βιάννου (ΦΕΚ 54 ΑΑΠ / 30-03-2011) Έκταση 4		
Κορυφή	X	Y
A22	624416.897	3873175.219
K59	624397.859	3873170.314
K48	624393.256	3873171.712
K49	624393.490	3873176.270
K50	624387.580	3873185.390
K51	624386.850	3873186.520
K52	624377.790	3873190.680
K53	624377.750	3873214.080
K54	624376.090	3873216.180
K55	624370.020	3873223.850
K56	624360.070	3873232.970
K57	624360.450	3873263.780
K58	624348.970	3873261.920
K11	624340.779	3873267.720
K10	624340.587	3873268.546
K37	624341.984	3873270.391
K38	624347.898	3873274.212
K39	624355.826	3873275.216
K40	624408.700	3873268.330
K60	624429.456	3873269.337
K61	624438.994	3873270.189
K62	624455.417	3873272.956
K63	624455.420	3873272.939
K174	624480.140	3873280.019
K175	624499.059	3873285.328
K180	624527.681	3873288.974
K181	624550.878	3873291.231
A17	624554.766	3873268.234
A18	624502.952	3873260.487
A19	624458.378	3873255.385
A20	624411.599	3873250.030
A21	624390.508	3873247.615

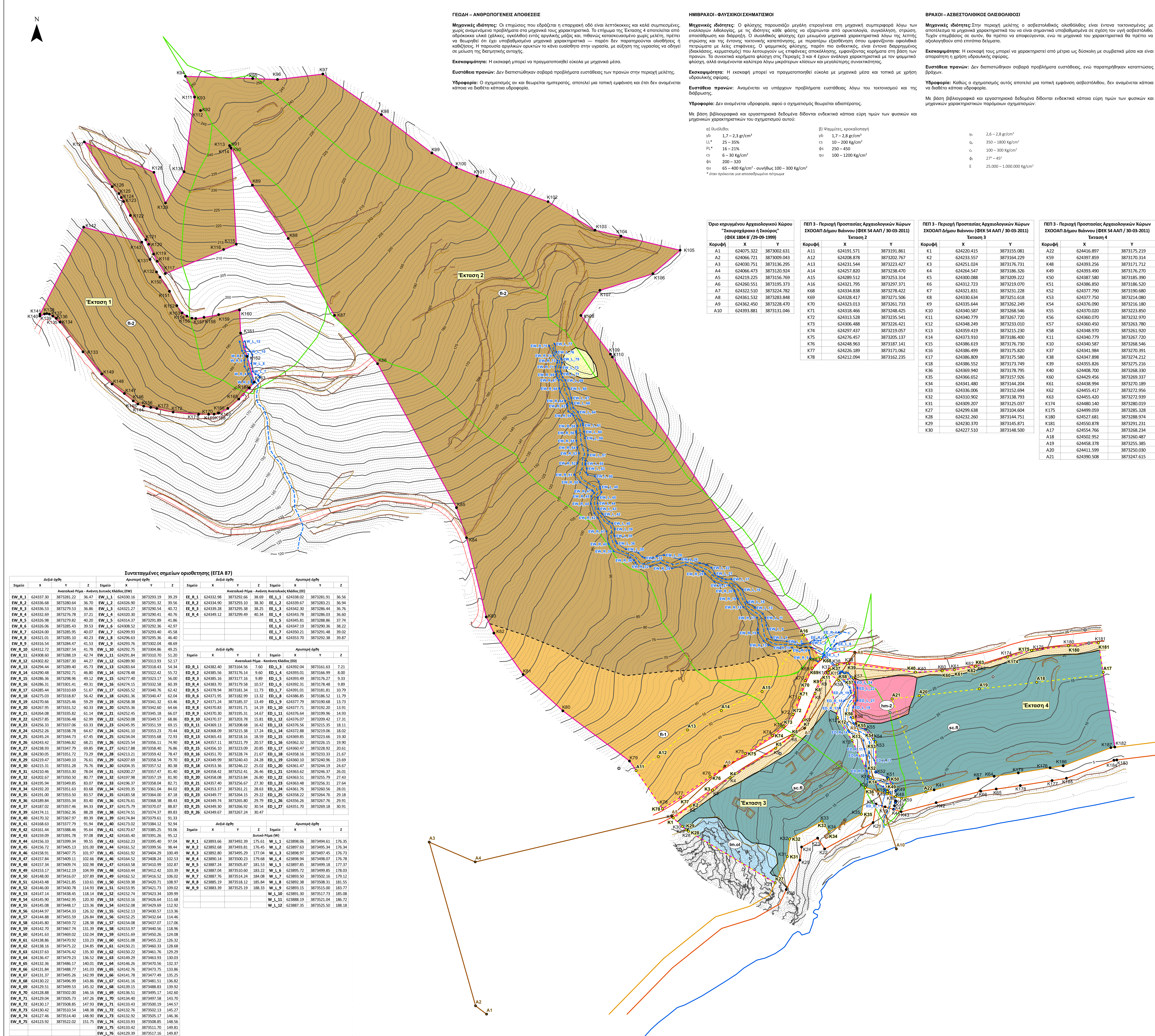

Συντεταγμένες σημείων οριοθετησης (ΕΓΣΑ 87)

Δεξιά όχθη				Αριστερή όχθη			
Σημείο	X	Y	Z	Σημείο	X	Y	Z
Ανατολικό Ρέμα - Ανάντη Ανατολικός Κλάδος (EE)							
EE_R_1	624332.98	3873292.66	38.69	EE_L_1	624338.02	3873281.91	36.56
EE_R_2	624334.90	3873293.10	38.30	EE_L_2	624339.67	3873283.21	36.94
EE_R_3	624339.28	3873295.38	38.25	EE_L_3	624342.30	3873286.44	36.76
EE_R_4	624349.12	3873299.49	40.34	EE_L_4	624343.78	3873286.03	36.60
				EE_L_5	624345.81	3873288.86	37.74
				EE_L_6	624347.19	3873290.36	38.22
				EE_L_7	624350.21	3873291.48	39.02
				EE_L_8	624353.70	3873292.38	39.87

Δεξιά όχθη				Αριστερή όχθη			
Σημείο	X	Y	Z	Σημείο	X	Y	Z
Ανατολικό Ρέμα - Κατάντη Κλάδος (ED)							
ED_R_1	624382.40	3873164.56	7.60	ED_L_3	624392.04	3873161.63	7.21
ED_R_2	624385.56	3873176.14	9.60	ED_L_4	624393.01	3873166.99	8.00
ED_R_3	624385.16	3873177.16	9.89	ED_L_5	624393.49	3873176.27	9.33
ED_R_4	624383.70	3873179.58	10.57	ED_L_6	624392.31	3873178.48	9.89
ED_R_5	624378.94	3873181.34	11.73	ED_L_7	624391.01	3873181.81	10.79
ED_R_6	624371.95	3873182.99	13.32	ED_L_8	624386.85	3873186.52	11.79
ED_R_7	624371.24	3873185.37	13.49	ED_L_9	624377.79	3873190.68	13.73
ED_R_8	624370.83	3873191.71	14.19	ED_L_10	624377.71	3873192.20	13.91
ED_R_9	624370.30	3873195.31	14.67	ED_L_11	624376.64	3873199.96	14.93
ED_R_10	624370.37	3873203.78	15.81	ED_L_12	624376.07	3873209.42	17.31
ED_R_11	624369.13	3873208.68	16.42	ED_L_13	624376.56	3873215.35	18.11
ED_R_12	624368.09	3873215.38	17.24	ED_L_14	624372.88	3873219.06	18.02
ED_R_13	624365.43	3873218.16	18.59	ED_L_15	624369.85	3873223.66	19.30
ED_R_14	624357.11	3873221.79	20.57	ED_L_16	624362.32	3873226.15	19.90
ED_R_15	624356.10	3873223.09	20.85	ED_L_17	624360.47	3873228.92	20.61
ED_R_16	624351.70	3873228.74	21.67	ED_L_18	624358.16	3873233.33	21.67
ED_R_17	624349.99	3873240.43	24.28	ED_L_19	624360.10	3873240.96	23.69
ED_R_18	624353.36	3873246.22	25.02	ED_L_20	624361.47	3873244.19	24.67
ED_R_19	624358.42	3873252.41	26.46	ED_L_21	624363.62	3873246.37	26.01
ED_R_20	624358.08	3873253.84	26.80	ED_L_22	624363.51	3873255.79	27.43
ED_R_21	624357.40	3873256.67	27.30	ED_L_23	624363.48	3873256.31	27.64
ED_R_22	624353.37	3873261.21	28.63	ED_L_24	624361.76	3873260.56	28.01
ED_R_23	624349.77	3873264.15	29.22	ED_L_25	624358.22	3873264.76	29.18
ED_R_24	624349.74	3873265.80	29.79	ED_L_26	624356.26	3873267.76	29.91
ED_R_25	624349.30	3873266.92	30.54	ED_L_27	624351.70	3873269.18	30.91
ED_R_26	624349.67	3873267.24	30.47				

Δεξιά όχθη				Αριστερή όχθη			
Σημείο	X	Y	Z	Σημείο	X	Y	Z
Δυτικό Ρέμα (W)							
W_R_1	623893.66	3873492.39	175.61	W_L_1	623898.06	3873494.61	176.35
W_R_2	623892.68	3873493.81	176.45	W_L_2	623897.63	3873495.34	176.34
W_R_3	623892.80	3873495.29	177.04	W_L_3	623898.97	3873497.45	176.73
W_R_4	623890.14	3873500.23	179.68	W_L_4	623898.94	3873498.07	176.78
W_R_5	623887.24	3873505.87	181.53	W_L_5	623897.85	3873499.18	177.37
W_R_6	623887.04	3873510.60	183.22	W_L_6	623895.72	3873499.85	178.03
W_R_7	623887.76	3873514.24	184.08	W_L_7	623893.50	3873502.16	179.12
W_R_8	623885.19	3873518.12	185.84	W_L_8	623892.38	3873508.31	181.55
W_R_9	623883.39	3873525.19	188.33	W_L_9	623893.15	3873515.00	183.77
				W_L_10	623891.30	3873517.73	185.08
				W_L_11	623888.19	3873521.04	186.72
				W_L_12	623887.35	3873525.50	188.18

ΥΠΟΜΝΗΜΑ - ΓΕΩΛΟΓΙΚΗ ΚΑΤΑΛΛΗΛΟΤΗΤΑ

Επίχωμα οδικού άξονα (hm-1). Επίχωμα για την έδραση του οδικού άξονα. Εμφανίζεται κυρίως στο νότιο μόνο τμήμα της οδού. Αποτελείται από λεπτόκοκκα κλαστικά υλικά καλά διαβαθμισμένα. Κατά θέσεις, κυρίως στην θέση που δρόμος διέρχεται από τον υπόγειο αγωγό, παρατηρούνται απορρίψεις αδρομερών κλαστικών υλικών. Τα πρανή έχουν κλίση περίπου 1:1 και δεν παρατηρήθηκαν τυχόν αστάθειες. Το πάχος του σχηματισμού είναι περίπου 2m.

Αποθέσεις επιχώματος (hm-2). Επίχωμα με σκοπό την δημιουργία επίπεδης επιφάνειας. Αποτελείται από αδρόκοκκα υλικά χάλικες ως ογκόλιθους, χωρίς ιδιαίτερη ταξινόμηση εντός κύριας μάζας από άμμο αργιλικό υλικό. Στην νότια πλευρά του επιχώματος όπου διακρίνεται το πρανές, αυτό είναι σχεδόν κατακόρυφο και δεν παρατηρήθηκαν σημαντικές αστοχίες, παρά λίγες κροκάλες στην βάση του πρανούς. Παρόλα αυτά οποιαδήποτε κατασκευή θα πρέπει να γίνει ύστερα από έλεγχο της ευστάθειας του. Το πάχος στο νότιο πρανές είναι περίπου 3m.

Ψαμμιτικός φλύσχης (fl-1). Εμφανίζεται στο κατώτερο τμήμα της Έκτασης 2. Το ανάγλυφο σε αυτό το χώρο, αν και απότομο είναι ήπιο με αποτέλεσμα να έχει δημιουργηθεί ένας αποσαθρωμένος εδαφικός ορίζοντας με κλαστικά υλικά από άμμους και κροκάλες. Σε τομές, είτε φυσικές είτε τεχνητές, όπου είναι ευδιάκριτος ο ψαμμιτικός φλύσχης, παρατηρείτε η έντονη παραμόρφωση του λόγω της τεκτονικής. Δεν παρατηρείται καμιά δομή στην μάζα του, ενώ κατά θέσεις γίνεται φυλλιτκός. Κατά μήκος στο πρανές του δρόμου, όπου διατηρείται μια υπολειμματική δομή, ο φλύσχης είναι έντονα κερματισμένος αποτελούμενος είτε λεπτοστρωματώδεις ιλυόλιθους, σε εναλλαγές με μεσοστρωματώδεις ψαμμίτες χωρίς σαφή προσανατολισμό στις στρώσεις ενώ παρατηρούνται και ψαμμιτικοί πάγκοι.

Ιλυολιθικός φλύσχσης (fl-2). Ο φλύσχης αυτός εντοπίζεται περίπου από το μέσο του της Έκταση 2 ως και το ανώτερο σημείο της και στην Έκταση 1. Το ανάγλυφο αν και απότομο είναι ήπιο με αποτέλεσμα να έχει δημιουργηθεί ένας αποσαθρωμένος εδαφικός ορίζοντας με κλαστικά υλικά κυρίως από χάλικες και λατύπες. Η λιθολογία και η δομή του σχηματισμού φανερώνουν έναν σχηματισμό που έχει υποστεί έντονη τεκτονική παραμόρφωση. Στο κάτω τμήμα της Έκτασης 2 εντοπίζεται θέση όπου ο φλύσχης έχει διαβρωθεί κατά βάθος από την ροή του νερού. Εκεί διακρίνεται ο εδαφικός ορίζοντας που έχει πάχος τουλάχιστον μισό μέτρο και αποτελείται κυρίως από χάλικες και λατύπες από ιλυόλιθο με χαλαζιακές φλέβες, ραδιολαρίτες και οφιολιθικά πετρώματα, ενώ στις θέσεις όπου έχει διατηρηθεί το μητρικό πέτρωμα παρατηρούνται οι λεπτοστρωματώδεις ιλυόλιθοι. Σημαντική εμφάνιση του μητρικού ιλυολθικού φλύσχη λαμβάνει χώρα στο άνω τμήμα της Έκτασης 2 κατά μήκος παλιού χωματόδρομου. Στις επιμέρους τομές κατά μήκος του δρόμου αυτού, τα πετρώματα είναι έντονα τεκτονισμένα, που σχεδόν χάνεται η εσωτερική δομή τους και παρουσιάσουν φυλλιτική δομή. Κατά θέσεις, όπου είναι δυνατό, διακρίνονται θραυσμένοι φαιοπράσινοι ιλυόλιθοι κυρίως λεπτοστρωματώδεις ή και μέσοστρωματώδεις.

Συνεκτικά κορήματα φλύσχη (sc.fl). Στα κάτω από την επαρχιακή οδό τμήματα του οικοπέδου, στις Εκτάσεις 3 και 4, διακρίνονται αποθέσεις τύπου κορημάτων. Το σύνολο της επιφάνειας των αποθέσεων αυτών καλύπτεται κυρίως από χάλικες και δευτερευόντως από λατύπες μέσα σε μια αργιλική κύρια μάζα. Η επιφάνεια αυτή, δεν αναμένεται να έχει σημαντικό πάχος, όπως φαίνεται και από τις τομές που έχουν γίνει από την αρχαιολογική υπηρεσία στο δυτικό τμήμα του γηπέδου. Στις θέσεις αυτές ο εδαφικός ορίζοντας έχει πάχος περίπου 20cm και στην συνέχεια εντοπίζονται εμφανίσεις που φαίνεται ότι σχετίζονται με τον ψαμμιτκό φλύσχη. Στο δυτικό τμήμα δεν υπάρχουν τομές έτσι ώστε να είναι σαφές ποιο είναι το γεωλογικό υπόβαθρο. Εκτιμάται ότι είναι και εδώ ο ψαμμιτικός φλύσχης αν παρατηρείται ένα τοπικό έξαρμα με αποθέσεις του ιλυολιθικού φλύσχη, ο οποίος μπορεί να έχει ολισθήσει από τα ανώτερα υψομετρικά τμήματα. Επιπλέον η περιοχή αυτή έχει επηρεαστεί από τις ευστατικές κινήσεις και για αυτό το λόγω το ανάγλυφό της περιοχής, κυρίως στο ανατολικό τμήμα, είναι πολύ ήπιο και ομαλό και σχηματισμός αυτός είναι αρκετά συνεκτικός.

Ψαμμιτικός πάγκος (sn.ol). Ενοπίζεται εντός του ιλυολιθικού φλύσχη. Αν και αποτελεί πιθανό μέρος μια φλυσχικής ακολουθίας, φαίνεται ότι είναι αλλόχθονος ως προς τον υπάρχων φλύσχη καθώς περιβάλλεται από αυτόν χωρίς να παρουσιάζει κάποια στρωματογραφική σχέση με αυτόν. Είναι παχυστρωματώδης και έντονα τεκτονισμένος που φαίνεται από το πλήθος των διακλάσεων που διαθέτει.

Ασβεστολιθικός ολισθόλιθος (lm.ol). Στο δυτικό παράκτιο άκρο του οικοπέδου διακρίνεται μεγάλος ασβεστολιθικός όγκος. Ο σχηματισμός αυτός είναι αλλόχθονος σε σχέση με τους σχηματισμούς του φλύσχη καθώς δεν παρατηρείται κάποια στρωματογραφική σχέση που να τους συνδέει. Είναι έντονα τεκτονισμένος, δεν διακρίνονται επιφάνειες στρώσεων και παρουσιάζει πολλές διακλάσεις, ενώ είναι και κατακερματισμένος.

Γεωλογικό όριο

Πιθανό γεωλογικό όριο

Γραμμή Οριστικής Οριοθέτησης

ΥΠΟΜΝΗΜΑ - ΥΠΟΒΑΘΡΟ

Κολώνες

Υδρογραφικό δίκτυο

Γραμμή Οριστικής Οριοθέτησης

Φρύδι πρανούς

Πόδι πρανούς

Αγροτική οδός

Δημοτική οδός

Αγωγός ομβρίων

Γραμμή Αιγιαλού (ΦΕΚ 185Δ'/08-05-2007)

Γραμμή Αιγιαλού (ΦΕΚ 185Δ'/08-05-2007)

Ακτογραμμή

Κύριες ισοϋψείς (Ισοδιάσταση 5m)

Δευτερεύουσες ισοϋψείς (Ισοδιάσταση 1m)

Αρχαιολογικός Χώρος "Σκουροχάρακο ή Σκούρος" (ΦΕΚ 1804Β΄/29-09-1999)

ΠΕΠ 3 (Περιοχή Προστασίας Αρχαιολογικών Χώρων) σύμφωνα με το ΣΧΟΟΑΠ Δήμου Βιάννου (ΦΕΚ 54 ΑΑΠ/30-03-2011)

Υδρολογικές Λεκάνες

Όριο έκτασης

ΦΟΡΕΑΣ ΥΛΟΠΟΙΗΣΗΣ:

MYRINA VILLAGE ΜΟΝΟΠΡΟΣΩΠΗ Α.Ε.

ΕΡΓΟ:

ΕΙΔΙΚΟ ΣΧΕΔΙΟ ΧΩΡΙΚΗΣ ΑΝΑΠΤΥΞΗΣ ΣΤΡΑΤΗΓΙΚΗΣ ΕΠΕΝΔΥΣΗΣ (ΕΣΧΑΣΕ) ΣΤΟ ΔΗΜΟ ΒΙΑΝΝΟΥ

ΜΕΛΕΤΗ ΓΕΩΛΟΓΙΚΗΣ ΚΑΤΑΛΛΗΛΟΤΗΤΑΣ

ΤΙΤΛΟΣ ΣΧΕΔΙΟΥ:

ΧΑΡΤΗΣ ΓΕΩΛΟΓΙΚΩΝ ΣΥΝΘΗΚΩΝ & ΤΕΧΝΙΚΟΓΕΩΛΟΓΙΚΩΝ ΣΤΟΙΧΕΙΩΝ

ΑΡ.ΣΧΕΔΙΟΥ: ΓΕΩΛ - 1

ΚΛΙΜΑΚΑ: 1:1.000

ΗΜΕΡΟΜΗΝΙΑ: ΙΟΥΛΙΟΣ 2026

ΜΕΛΕΤΗΤΗΣ:

ADVANCED ENVIRONMENTAL STUDIES ΣΥΜΒΟΥΛΟΙ ΜΗΧΑΝΙΚΟΙ Α.Ε.

ΥΠΟΓΡΑΦΗ

IOANNIS MOULA TSIOTIS

ΕΓΚΡΙΣΕΙΣ

ΙΩΑΝΝΗΣ ΜΟΥΛΑΤΣΙΩΤΗΣ

MSc Γεωλόγος